



طراحی خودکار کنترل فازی تاکاگی سوگنو توسط روش ترکیبی یادگیری تقویتی

گسته و پیوسته

علی اکبر قره ویسی^۱ ، محمد کاشکی^۲

گروه برق دانشگاه شهید باهنر کرمان

^۱a_gharaveisi@uk.ac.ir , ^۲kashki@gmail.com

چکیده: در این مقاله روشی جدید جهت طراحی کنترل فازی تاکاگی سوگنو برای سیستم غیر خطی آونگ معکوس ارائه شد. روش طراحی ارائه شده به صورت خودکار بوده و نیازی به معادلات دینامیکی سیستم تحت کنترل ندارد. الگوی طراحی مذکور شامل دو مرحله می باشد، مرحله اول که اتماتای یادگیری تقویتی گسته بوده و بازه مناسب ضرایب کنترل تاکاگی سوگنو را بدست می آورد، و مرحله دوم که اتماتای یادگیری تقویتی پیوسته بوده و مقدار بهینه ضرایب کنترل را تعیین می کند. از آنجائیکه تمامی مراحل طراحی به صورت عمومی بیان شده، براحتی می توان آن را برای دیگر سیستمهای غیرخطی نیز بکاربرد.

واژه های کلیدی: اتماتای یادگیری تقویتی گسته، اتماتای یادگیری تقویتی پیوسته، کنترل فازی تاکاگی سوگنو

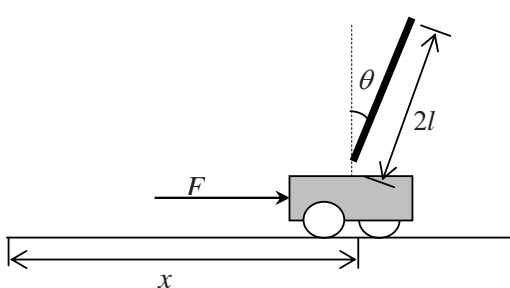
Abstract: In this paper, an optimal Takagi-Sugeno fuzzy control is designed with a novel method called combined discrete and continuous action reinforcement learning algorithm (CDCARLA). The proposed method is implemented for a nonlinear system that is Cart-Pole system. Simulation results show that the proposed method has significant performance. The advantage of CDCARLA is that it does not need system dynamics as well as any other information of power system. It can be said that, this method will consider nonlinear features of power system. It is shown that CDCARLA method can be considered as one of the automatic design technique for designing of controller parameters.

Keywords: Continuous Action Reinforcement Learning Automata, Continuous Action Reinforcement Learning Automata, Takagi-Sugeno Fuzzy Control.

تحقیقات در مورد روشهای تحلیلی آمده است. ایده اصلی این روشها محاسبه ضرایب کنترل تاکاگی سوگنو از روی شکل خطی معادلات حالت سیستم تحت کنترل برای بدست آوردن کنترل مقاوم و پایدار است. روشهای هوشمند نیز در طراحی کنترل فازی تاکاگی سوگنو مورد استفاده قرار گرفته اند. در [۷] جهت پایدارسازی سیستم آونگ معکوس از کنترل فازی مدارانی طراحی شده توسط الگوریتم ژنتیک استفاده شده است. ایده پیشنهادی در این مقاله استفاده از روش ترکیبی یادگیری تقویتی گسته و پیوسته برای طراحی کنترل فازی تاکاگی سوگنو است. در روش ارائه شده طراحی کنترل کننده بصورت خودکار انجام می گیرد و برای حل مسائلی که تعداد متغیرهای تصمیم زیاد باشد و نیز بازه تغییرات آنها نامعلوم است بسیار سودمند می باشد. روش یادگیری تقویتی پیوسته در [۸] و [۹] به

۱. مقدمه

در سالهای اخیر سیستمهای کنترل فازی کاربردهای فراوانی در کنترل سیستمهای غیر خطی و پیچیده به خود اختصاص داده اند. یکی از انواع مهم سیستمهای کنترل فازی، کنترل فازی نوع تاکاگی سوگنو است. اگر چه سیستمهای کنترل فازی تاکاگی سوگنو کارایی خوبی در کنترل سیستمهای غیر خطی دارند، اما برخلاف کنترل فازی مدارانی برای طراحی کنترل کننده فازی تاکاگی سوگنو باید معادلات سیستم تحت کنترل بطور کامل معلوم باشند. در [۱] Wang و Tanaka و در [۲] Sugeno و Wang و Tanaka و در [۳] Tanaka و در [۴] سایر روش طراحی کنترل کننده فازی تاکاگی سوگنو را با استفاده از معادلات خطی شده سیستم تحت کنترل ارائه کرده اند. در [۵] تا [۶] سایر



شکل (۱) سیستم آونگ معکوس و ورودی کنترل

۳. کنترل فازی تاکاگی سوگنو

برای کنترل سیستم آونگ وارونه یک کنترل کننده فازی تاکاگی سوگنو درجه اول استفاده می شود. سیستم تحت کنترل چهار متغیر حالت یعنی فاصله افقی x ، سرعت افقی \dot{x} ، زاویه انحراف θ ، و سرعت زاویه ای انحراف $\dot{\theta}$ دارد که حدود این متغیرها به صورت زیر هستند:

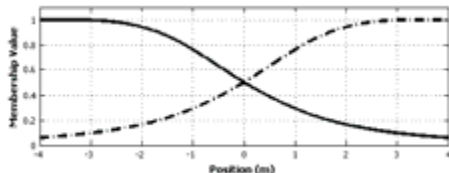
- $x \in [-4,4]$
- $\dot{x} \in [-3,3]$
- $\theta \in [-80^\circ, 80^\circ]$
- $\dot{\theta} \in [-2,2]$

قاعده i -ام در کنترل فازی تاکاگی سوگنو به صورت زیر می باشد:

Rule i :

$$\text{if } (x \text{ is } MF_p^1) \text{ AND } (\dot{x} \text{ is } MF_q^2) \text{ AND } (\theta \text{ is } MF_r^3) \text{ AND } (\dot{\theta} \text{ is } MF_s^4) \text{ then } F = a_i \frac{x}{i} + b_i \frac{\dot{x}}{i} + c_i \frac{\theta}{i} + d_i \frac{\dot{\theta}}{i} + e_i$$

که $p, q, r, s = 1, 2, \dots, 16$ است. برای جلوگیری از پیچیدگی مساله برای هر یک از متغیرهای حالت دوتابع عضویت در محدوده تعريف متغیر در نظر گرفته می شود. بنابراین پایگاه قواعد سیستم کنترل فازی ۱۶ قاعده فازی است. توابع عضویت چهار متغیر حالت در شکل‌های (۲) تا (۵) نشان داده شده است.

شکل (۲) توابع عضویت متغیر موقعیت (MF_1^1 و MF_2^1) و (MF_1^2 و MF_2^2)

ترتیب در طراحی کنترل PID و طراحی فیلتر دیجیتال استفاده شده است. روش این دو مرجع برای یافتن مقدار بهینه متغیر تصمیم در بازه ای کوچک مناسب بوده و برای شروع یک روش طراحی کلاسیک را بکار برد و در نتیجه در طراحی کنترل کننده معادلات و دینامیک های سیستم تحت کنترل لازم می باشند. لذا روش های مذکور برای طراحی اتوماتیک مناسب نیست. الگوی طراحی ارائه شده در این مقاله شامل دو مرحله است در مرحله اول با استفاده از یادگیری تقویتی گستته بازه مناسب ضرائب کنترل تعیین گردیده و سپس با استفاده از یادگیری تقویتی پیوسته بهترین مقدار آن در بازه تعیین شده بدست می آید. این الگوی طراحی به سیستم تحت کنترل به دید یک جعبه سیاه می نگرد و در نتیجه نیازی به معادلات و دینامیکهای آن ندارد. سیستم آونگ معکوس یکی از معروف‌ترین سیستمهای غیر خطی می باشد که طبیعت غیر خطی خاص آن باعث شده تا به عنوان پلاتی برای سنجش کارائی روش‌های طراحی کنترل کننده در نظر گرفته شود. روش‌های مختلفی برای کنترل سیستم آونگ معکوس ارائه شده است. روش پیشنهادی در این مقاله بر روی سیستم آونگ معکوس اعمال شده و نتایج شبیه سازی حاکی از کارآمد بودن روش می باشد و با توجه به عمومی بودن این روش، می توانیم آن را برای گستره وسیعی از سیستمهای غیر خطی بکار بربیم.

۴. مدلسازی آونگ معکوس

شکل (۱) سیستم آونگ معکوس را به عنوان سیستم تحت کنترل نشان می دهد که در آن F نیروی وارد بر اربه و ورودی کنترل، l نصف طول آونگ، θ زاویه انحراف آونگ نسبت به محور عمودی، و X موقعیت افقی ارباب نسبت به یک مرجع ثابت می باشد. هدف از کنترل این سیستم پایدار نمودن آن در موقعیت افقی X^* است در حالیکه آونگ بطرور کاملاً عمود قرار دارد. معادلات دینامیکی آونگ وارونه به صورت رابطه (۱) قابل بیان است.

$$\begin{aligned} \ddot{\theta} &= \frac{g \sin \theta - \cos \theta (F + ml\dot{\theta}^2 \sin \theta)}{m + M} \\ l &\left(\frac{4}{3} - \frac{m \cos^2 \theta}{m + M} \right) \\ \ddot{x} &= \frac{F + ml(\dot{\theta}^2 \sin \theta - \ddot{\theta} \cos \theta)}{m + M} \end{aligned} \quad (1)$$

در روابط فوق g شتاب گرانشی و برابر 9.8 m/s^2 ، m جرم آونگ، و M جرم ارباب است. برای طراحی کنترل فازی تاکاگی سوگنو پارامترهای این مدل بصورت $m = 1 \text{ kg}$ ، $M = 1 \text{ kg}$ و $l = 1 \text{ m}$ در نظر گرفته می شوند.

تفکیک الگوی طراحی کنترل کننده به دو مرحله فوق باعث کاهش چشمگیر پیچیدگی مسائلی می شود که تعداد متغیرهای تصمیم در آنها زیاد است. همچنین با استفاده از این الگو دانستن دقیق حدود تغییرات متغیرهای تصمیم مورد نیاز نمی باشد.

۵. اتوماتای یادگیری تقویتی گستته

مرحله اول روش پیشنهادی در طراحی کنترل کننده شامل اتوماتی یادگیری تقویتی گستته است که به چند بخش تقسیم می شود:

۱.۱. گام اول: گروه بندی متغیرهای تصمیم

با توجه به اینکه حدود تغییرات متغیرهای تصمیم مشابه (a_i ، b_i ، c_i ، d_i ، e_i) در مدل فازی کنترل یکسان می باشد، لذا می توانیم تمام متغیرهای تصمیم را به پنج گروه متغیر تصمیم^۳ تقسیم کنیم. به عبارت دیگر اگر تمام متغیرها را به صورت یک ماتریس در نظر بگیریم که هر سطر آن متناسب با یک قاعده فازی باشد، آنگاه هر ستون این ماتریس یک گروه متغیر می باشد. بنابراین برای سیستم آونگ معکوس پنج گروه متغیر تصمیم قابل تعریف است که عبارتند از:

- ۱- گروه اول: متغیرهای a_i ($i = 1, 2, \dots, 16$)

- ۲- گروه دوم: متغیرهای b_i ($i = 1, 2, \dots, 16$)

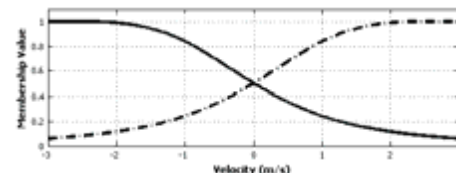
- ۳- گروه سوم: متغیرهای c_i ($i = 1, 2, \dots, 16$)

- ۴- گروه چهارم: متغیرهای d_i ($i = 1, 2, \dots, 16$)

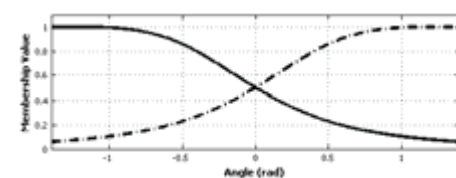
- ۵- گروه پنجم: متغیرهای e_i ($i = 1, 2, \dots, 16$)

۱.۲. گام دوم: تعیین بازه های متناظر با هر گروه متغیر

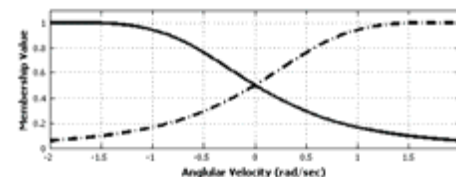
پس از تعریف گروههای متغیر، بازه های هر گروه باید تعیین شود. اگر طول بازها کوچک باشد مرحله دوم طراحی سریعتر همگرا می شود اما چون تعداد آنها زیاد خواهد شد مرحله اول طراحی طولانی خواهد شد. همچنین اگر تعداد بازها کم انتخاب شود مرحله اول طراحی سریعاً همگرا می شود اما مرحله دوم طراحی بیشتر به طول خواهد انجامید. بنابراین تعداد بازه ها و در نتیجه طول آنها مصالحه ای از سرعت همگرایی دو مرحله طراحی می باشد. حدود تغییرات پنج گروه متغیر از ۵۵-۵۵ تا ۱۱ می باشد که به ۱۱ بازه مساوی تقسیم می شود. جدول (۱) بازه های گروههای متغیر تصمیم را نشان می دهد.



شکل ۳) توابع عضویت متغیر سرعت افقی (MF_1^2 و MF_2^2)



شکل ۴) توابع عضویت متغیر زاویه (MF_1^3 و MF_2^3)



شکل ۵) توابع عضویت متغیر سرعت زاویه ای (MF_1^4 و MF_2^4)

با توجه به رابطه (۲) هر قاعده فازی شامل پنج متغیر تصمیم^۱ می باشد. بنابراین برای طراحی کامل کنترل کننده باید ۸۰ متغیر تصمیم تعیین مقدار شوند.

۴. الگوی پیشنهادی طراحی خودکار کنترل کننده فازی تاکاگی سوگنو

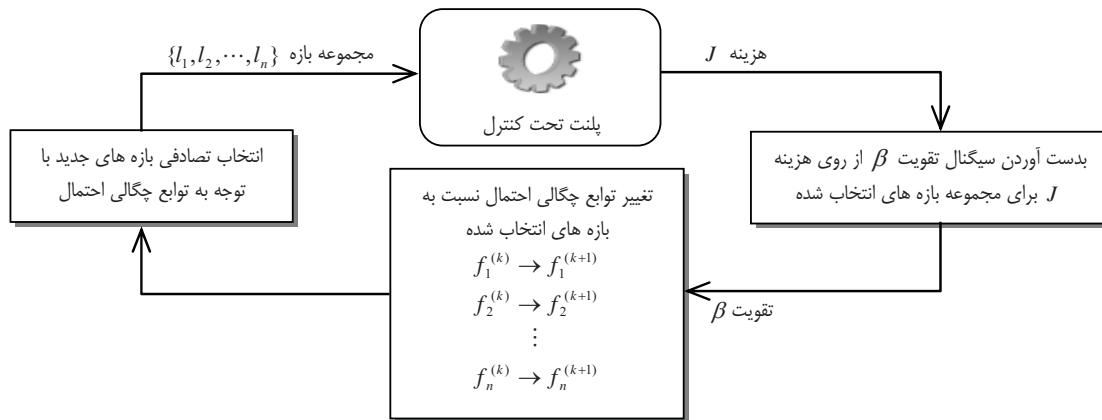
در روش پیشنهادی این مقاله، فقط با استفاده از الگوریتم یادگیری تقویتی و اندرکنش دستگاه تحت کنترل (آونگ وارونه) و کنترل کننده در یک سیستم کنترل حلقه بسته، طراحی پارامترهای کنترل کننده فازی تاکاگی سوگنو انجام می گیرد. روش طراحی دارای دو مرحله زیر می باشد:

✓ **مرحله اول:** تعیین بازه مناسب برای هر یک از متغیرهای تصمیم با استفاده از اتوماتای یادگیری تقویتی گستته^۲

✓ **مرحله دوم:** یافتن بهترین مقدار متغیر تصمیم در بازه تعیین شده با استفاده از اتوماتای یادگیری تقویتی پیوسته^۳

² Discrete Action Reinforcement Learning Automata

³ Continuous Action Reinforcement Learning Automata



شکل ۶) شماتیک یادگیری تقویتی گستته

همانطور که در شکل (۶) نشان داده شده است، تابع چگالی احتمال هر گروه متغیر با استفاده از سیگنال تقویت^۱ β بهبود می‌یابد. اما باید توجه داشت این تغییر و بهبود برای گروه‌های مختلف به صورت مستقل انجام نمی‌شود زیرا:
 ۱- تمام تابع چگالی احتمال تحت یک سیگنال تقویت واحد تغییر می‌یابند،
 ۲- هزینه J و در نتیجه سیگنال تقویت β وابسته به تأثیر توامان مجموعه بازه انتخاب شده می‌باشد.

۱.۳.۵. دستگاه تحت کنترل و کنترلکننده فازی تاکاگی سوگنو
 سیستم کنترل فازی تاکاگی سوگنو بصورت منوالی با دستگاه تحت کنترل یعنی همان سیستم پاندول معکوس تشکیل سیستم حلقه بسته را می‌دهند و این سیستم در محیط MATLAB® شیوه سازی شده است.
 ساختار سیستم کنترل وابسته به ۸۰ متغیر تصمیم می‌باشد. در هر مرحله برای تکمیل ساختار سیستم کنترل، از بازه انتخاب شده هر گروه، ۱۶ متغیر تصمیم (یک ستون از ماتریس متغیرها) به صورت تصادفی انتخاب می‌شود.

۲.۳.۵. تابع هزینه

تابع هزینه با استفاده از خطای موقعیت و خطای زاویه تعریف می‌شود. آنچه در وله اول به عنوان تابع هزینه مناسب به نظر می‌رسد مجموع انتگرال مربع خطاهای موقعیت و زاویه است. یعنی:

$$\tilde{J} = \int_0^{\tau} e_x^2(t) dt + \int_0^{\tau} e_{\theta}^2(t) dt$$

که τ زمان کل شیوه سازی است و باید به اندازه کافی بزرگ انتخاب شود
 مثلاً $e_x(t) \cdot \tau = 10^{\text{sec}}$ و $e_{\theta}(t) \cdot \tau = 10^{\text{sec}}$

جدول ۱- بازه‌های گروه‌های متغیر تصمیم

حدود تغییرات	بازه
[-۵۵, -۴۵]	۱
[-۴۵, -۳۵]	۲
[-۳۵, -۲۵]	۳
[-۲۵, -۱۵]	۴
[-۱۵, -۵]	۵
[-۵, ۵]	۶
[۵, ۱۵]	۷
[۱۵, ۲۵]	۸
[۲۵, ۳۵]	۹
[۳۵, ۴۵]	۱۰
[۴۵, ۵۵]	۱۱

۳.۰. گام سوم: بدست آوردن بازه بینه هر گروه متغیر با استفاده

از یادگیری تقویتی گستته برای هر یک از گروه‌های متغیر، تابع چگالی احتمال $f_i(n)$ $i = 1, 2, \dots, 5$ نسبت داده می‌شود. مقدار اولیه تابع چگالی احتمال به طور یکنواخت انتخاب می‌شود، یعنی:

$$f_i^{(0)}(n) = \begin{cases} \frac{1}{n_i^i} & n = 1, 2, \dots, n_i \\ 0 & \text{other} \end{cases} \quad (۳)$$

که n_i^i تعداد بازه‌های تعریف شده برای گروه i است. شماتیک یادگیری تقویتی گستته برای n گروه متغیر در شکل (۶) نشان داده شده است.

^۱ Reinforcement Signal

طراحی خودکار کنترل فازی تاکاگی سوگو توسط روش ترکیبی یادگیری تقویتی گسته و پیوسته، علی اکبر قره ویسی، محمد کاشکی

$$\beta(J) = \begin{cases} 0 & J > J_{mean} \\ \frac{J_{mean} - J}{J_{mean} - J_{min}} & J_{min} \leq J \leq J_{mean} \\ 1 & J < J_{min} \end{cases} \quad (7)$$

که J_{min} و J_{mean} به ترتیب میانگین و مینیمم هزینه های قبلی است. صورت بسته رابطه (7)، رابطه (8) می باشد.

$$\beta(J) = \min \left\{ 1, \max \left\{ 0, \frac{J_{mean} - J}{J_{mean} - J_{min}} \right\} \right\} \quad (8)$$

۴.۳.۵ تغییر توابع چگالی احتمال

به ازای بازه انتخاب شده در هر مرحله، توابع چگالی احتمال به نسبت "خوب بودن" این انتخاب تغییر می یابند؛ بدین معنا که، اگر این انتخاب خوب باشد احتمال انتخاب آن در مراحل بعدی باید بیشتر شود. این تغییر با استفاده از سیگنال تقویت (اندرکنشن با سیستم تحت کنترل) انجام می شود. تغییر در تابع چگالی احتمال با استفاده از رابطه (9) اعمال می گردد.

$$f_i^{(k+1)}(n) = \alpha_i(f_i^{(k)}(n) + \beta(J)Q(n,i)) \quad (9)$$

تابع $Q(n,i)$ ، سیگنال نمائی با مرکز در بازه i است و به صورت (10) تعریف می شود.

$$Q(n,i) = 2^{-(n-i)^2} \quad n, i = 1, 2, \dots, 11 \quad (10)$$

برای آنکه مجموع احتمالات هر تابع چگالی احتمال برابر یک باشد، α_i از رابطه (11) تعیین می شود.

$$\alpha_i = \frac{1}{\sum_{n=1}^{11} f_i^{(k)}(n) + \beta(J)Q(n,i)} \quad (11)$$

۴.۳.۶ انتخاب تصادفی بازه جدید بر اساس توابع چگالی احتمال
پس از تغییر توابع چگالی احتمال، بازه جدیدی به صورت تصادفی انتخاب می شود. بدین منظور ابتدا احتمال تجمعی انتخاب بازه n ام ($K = 1, 2, \dots, 11$) از رابطه (12) بدست می آید، محاسبه می شود.

$$C_i(n) = \sum_{k=1}^n f_i(k) \quad (12)$$

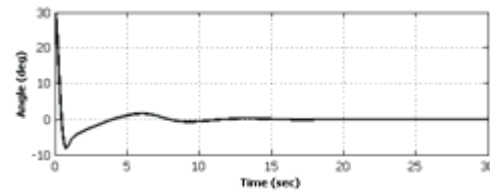
سپس با استفاده از عدد تصادفی r که $0 \leq r < 1$ است و از روی رابطه (13) بازه هر گروه متغیر انتخاب می شود.

$$Index_i = \begin{cases} 1 & r \leq C_i(1) \\ j & C_i(j-1) < r \leq C_i(j) \end{cases} \quad (13)$$

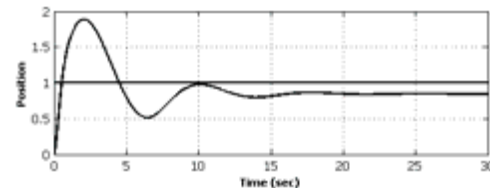
است و به صورت رابطه (5) تعریف می شود. زاویه مرجع در این رابطه برابر صفر است.

$$\begin{aligned} e_x(t) &= x(t) - x^* \\ e_\theta(t) &= \theta(t) \end{aligned} \quad (5)$$

اما انتخاب رابطه (4) به عنوان تابع هزینه کافی نمی باشد. در شکل زاویه انحراف و موقعیت سیستم آونگ معکوس با زاویه انحراف اولیه 30° درجه و موقعیت مرجع ۱ متر، کنترل شده توسط یک کنترل فازی تاکاگی سوگو طراحی شده به ترتیب در شکلها (7) و (8) نشان داده شده است.



شکل ۷) زاویه انحراف آونگ معکوس با زاویه انحراف اولیه 30° درجه



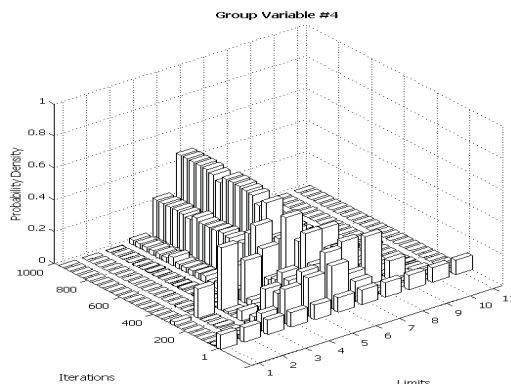
شکل ۸) موقعیت آونگ معکوس با موقعیت مرجع ۱ متر

این کنترل کننده عملکرد خوبی در کنترل زاویه داشته اما در کنترل موقعیت دارای خطای حالت دائمی است. بنابراین باید در تابع هزینه رابطه (4) تغییر ایجاد کیم که خطای حالت دائمی موقعیت نیز باعث افزایش هزینه شود. تابع هزینه مناسب به صورت رابطه زیر می باشد.

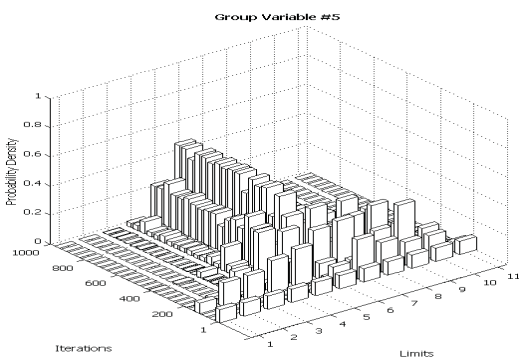
$$J = \tilde{J} + Mx_{ess} \quad (6)$$

که x_{ess} خطای حالت دائمی موقعیت، و M یک عدد مثبت به اندازه کافی بزرگ، مثلا $M = 1000$ است.

۴.۳.۷ بدست آوردن سیگنال تقویت از روی هزینه
برای آنکه تغییرات تابع چگالی احتمال مناسب باشد، در بدست آوردن سیگنال تقویت از روی هزینه باید به موارد زیر توجه داشته باشیم:
۱- هزینه های نسبتا بالا منجر به تقویت صفر شوند،
۲- هزینه های نسبتا پائین منجر به تقویت یک شوند،
۳- تقویت متناظر با هزینه های مابین دو حد فوق، بین صفر و یک باشد.
صفت نسبتا بستگی به مقادیر هزینه قبلی می باشد. یکی از توابع مناسب سیگنال تقویت رابطه (7) می باشد.



شکل (۱۲) روند تغییرات تابع چگالی احتمال گستته گروه چهارم



شکل (۱۳) روند تغییرات تابع چگالی احتمال گستته گروه پنجم

بازه بهینه هر گروه، بازه ای است که بیشترین احتمال را به خود اختصاص داده است. جدول (۲) بازه بهینه هر گروه متغیر را نشان می دهد.

جدول -۲- بازه بهینه هر گروه متغیر پس از انجام مرحله اول الگوی طراحی

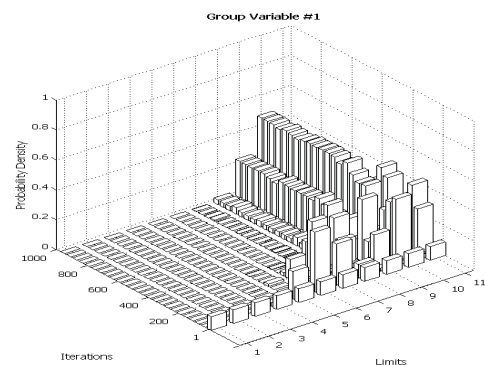
بازه بهینه	اندیس بازه بهینه	گروه متغیر
[۳۵, ۴۵]	۱۰	۱
[۵, ۱۵]	۷	۲
[-۵, ۵]	۶	۳
[-۵, ۵]	۶	۴
[-۵, ۵]	۶	۵

۶. آنوماتای یادگیری تقویتی پیوسته

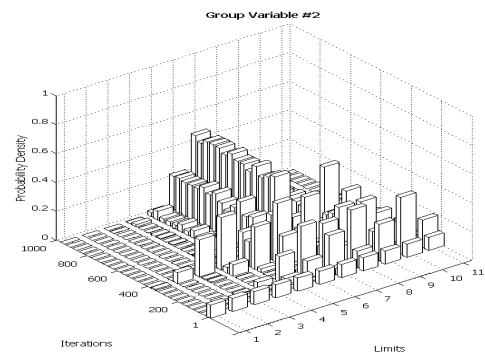
در مرحله دوم روش طراحی پیشنهادی مقاله، بازه های بدست آمده در مرحله اول استفاده شده و بهترین مقدار پارامتر سیستم کنترل در این بازه را بدست می آید. برای سیستم آونگ معکوس، آنچه باید بدان توجه شود آن است که ۱۶ متغیر از ساختار سیستم کنترل در هر گروه متغیر قرار دارد.

۶.۳. استخراج بهترین بازه از هر گروه متغیر

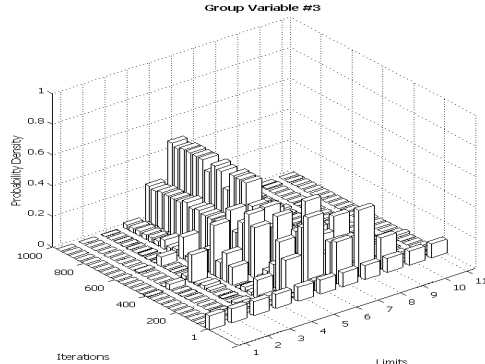
با تکرار روند بالا، احتمال بهترین بازه هر گروه متغیر افزایش یافته و احتمال سایر بازه ها کاهش می یابد. شکلهای (۹) تا (۱۳) روند تغییرات توابع چگالی احتمال پنج گروه متغیر را نشان می دهند.



شکل (۹) روند تغییرات تابع چگالی احتمال گستته گروه اول

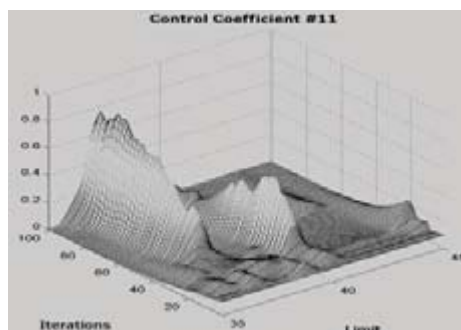


شکل (۱۰) روند تغییرات تابع چگالی احتمال گستته گروه دوم



شکل (۱۱) روند تغییرات تابع چگالی احتمال گستته گروه سوم

پس از مرحله دوم طراحی را نشان می‌دهند. این نتایج به ازای ۱۰۰ مرتبه تکرار و به ازای $g_h = 0.8$ و $g_w = 0.05$ حاصل شده است.



شکل (۱۴) روند تغییرات چگالی احتمال پیوسته ضرب کنترل بازدهم (A_3)

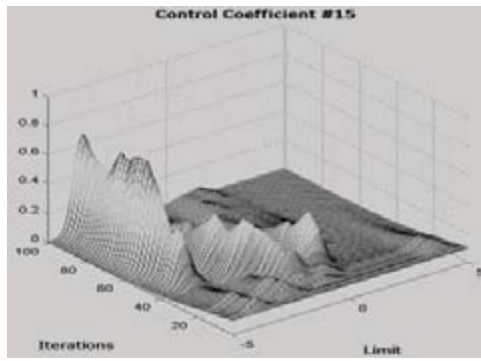
شمایتیک اتوماتیک یادگیری تقویتی پیوسته همانند اتوماتیک یادگیری تقویتی گسته است که در شکل (۶) نشان داده شده است.

در این مرحله از طراحی برای محدود کردن فراجهش از موقعیت مرجع، تابع هزینه را به صورت زیر تعریف می‌کنیم.

$$\tilde{J} = 10 \int_0^{\tau} e_x^2(t) dt + \int_0^{\tau} e_{\theta}^2(t) dt + Mx_{ss} \quad (14)$$

بدست آوردن سیگنال تقویت از روی هزینه همانند شمایتیک اتوماتیک یادگیری تقویتی گسته و از روی رابطه (۸) قابل محاسبه است. توابع چگالی احتمال در این مرحله از طراحی سیستم کنترل به صورت پیوسته هستند که در ابتدا به فرم یکنواخت تعریف می‌شوند.

$$f_i^{(0)}(x) = \begin{cases} \frac{1}{U_i - L_i} & x \in [L_i, U_i] \\ 0 & \text{other} \end{cases} \quad i = 1, 2, \dots, m \quad (15)$$



شکل (۱۵) روند تغییرات چگالی احتمال پیوسته ضرب کنترل پانزدهم

که در آن L_i و U_i به ترتیب حد پایین و حد بالای بازه انتخاب شده گروه متغیر است که متغیر سیستم کنترل i ام به آن تعلق دارد. تابع تقویت چگالی احتمال پیوسته مشابه حالات گسته و لی متفاوت اعمال می‌شود. این تغییر با استفاده از سیگنال تقویت و به صورت رابطه (۱۶) انجام می‌شود.

$$f_i^{(k+1)}(x) = \alpha_i (f_i^{(k)}(x) + \beta(J)H(x, x_i)) \quad (16)$$

در رابطه فوق، تابع H یک تابع گوسی است که به صورت رابطه (۱۷) تعریف می‌شود.

$$H(x, x_i) = \frac{g_h}{U_i - L_i} \exp\left(-\frac{(x - x_i)^2}{2(g_w(U_i - L_i)^2)}\right) \quad (17)$$

که در این رابطه، x_i متغیر کنترل انتخاب شده i ام، g_w و g_h به ترتیب عرض و ارتفاع تابع گوسی می‌باشد.

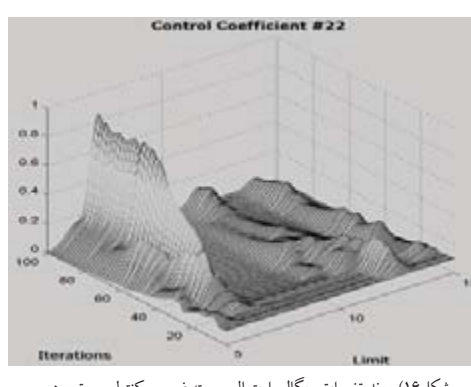
همچنین برای اینکه مساحت زیر نمودار هر یک از توابع چگالی احتمال برابر ۱ باشد، α_i به صورت زیر محاسبه و منتظر می‌شود.

$$\alpha_i = \frac{1}{\int_{L_i}^{U_i} f_i^{(k)}(x) + \beta(J)H(x, x_i) dx} \quad (18)$$

انتخاب تصادفی متغیر کنترل نیز در مرحله دوم طراحی به صورت پیوسته و با احتمال تجمعی که از رابطه (۱۹) محاسبه می‌شود، انجام می‌گیرد.

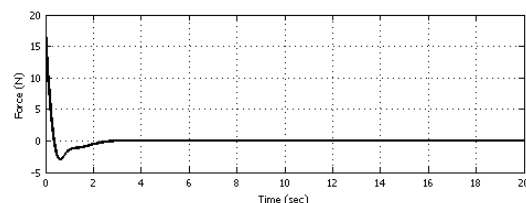
$$C_i(x) = \int_{L_i}^x f_i(x) dx \quad (19)$$

با تکرار فرایند فوق، چگالی احتمال بهترین مقدار ضرب کنترل افزایش می‌یابد. شکل های (۱۴) تا (۱۷) روند تغییرات چگالی احتمال سه ضرب کنترل،



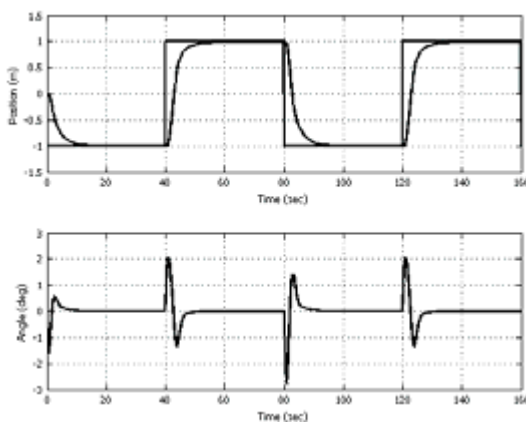
شکل (۱۶) روند تغییرات چگالی احتمال پیوسته ضرب کنترل بیست و دوم

بهترین مقدار هر ضرب در کنترل کننده فازی تاکاگی سوگو مقداری است که بیشترین مقدار چگالی احتمال را به خود اختصاص داده است. در شکل (۱۸) تغییرات تابع هزینه نشان داده شده است.



شکل (۲۲) تغییرات نیروی کنترل

همانطور که از شکلهای فوق بر می‌آید، کنترل فازی طراحی شده عملکرد بسیار خوبی داشته است و به علاوه انرژی کنترل نیز محدود می‌باشد. در شکل (۲۳) نیز نمودارهای موقعیت و زاویه برای حالتی که موقعیت مرجع سیگنال مربعی متناظر باشد، نشان داده شده است.



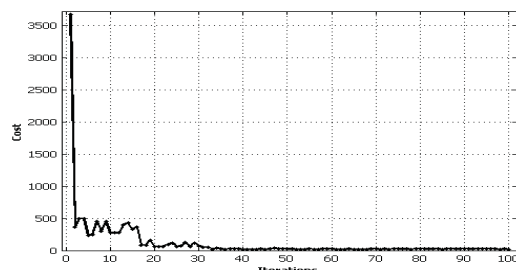
شکل (۲۳) تغییرات موقعیت افقی ارabe و زاویه آونگ

۸. نتیجه گیری

در این مقاله روشی جهت طراحی کنترل فازی تاکاگی سوگنو برای سیستم غیر خطی آونگ معکوس ارائه شد. روش طراحی ارائه شده به صورت خودکار بوده و نیازی به معادلات دینامیکی سیستم تحت کنترل ندارد. الگوی طراحی مذکور شامل دو مرحله می‌باشد، مرحله اول که اتماتای یادگیری تقویتی گستته بوده و بازه مناسب ضرایب کنترل تاکاگی سوگنو را بدست می‌آورد، و مرحله دوم که اتماتای یادگیری تقویتی پیوسته بوده و مقدار بهینه ضرایب کنترل را تعیین می‌کند. از آجاییکه تمامی مراحل طراحی به صورت عمومی بیان شده، براحتی می‌توان آن را برای دیگر سیستم‌های غیرخطی نیز بکاربرد.

مراجع

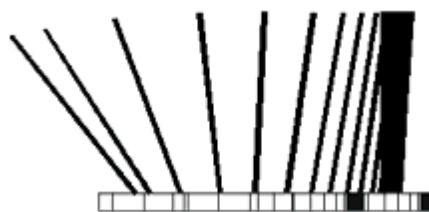
- [1] K. Tanaka, H. Wang, "Fuzzy Control Systems Design and Analysis", John Wiley & Sons Inc., 2001.



شکل (۲۴) نمایش خطی تغییرات تابع هزینه

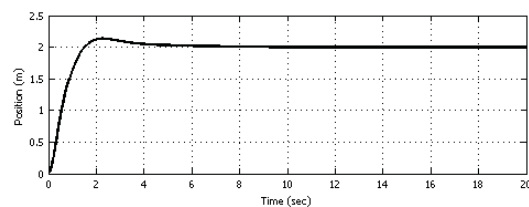
۷. بررسی نتایج شبیه سازی کامپیوتری

نتیجه اعمال کنترل کننده فازی تاکاگی سوگنو طراحی شده با روش پیشنهادی در این مقاله به سیستم آونگ معکوس با زاویه انحراف اولیه ۳۰ درجه، موقعیت اولیه صفر، سرعت افقی و سرعت زاویه ای صفر و موقعیت مرجع ۲ متر، در شکل (۲۵) نشان داده شده است.

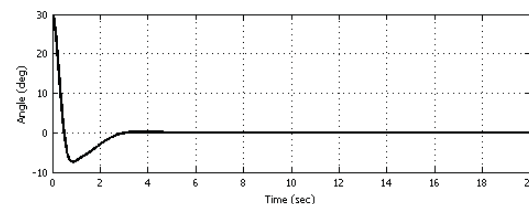


شکل (۲۵) اعمال کنترل بهینه طراحی شده به آونگ معکوس

نمودارهای موقعیت، زاویه و نیروی کنترل در شکل های (۲۰) تا (۲۲) آمده است.



شکل (۲۶) تغییرات موقعیت افقی ارabe و فرارگیری آن در موقعیت مرجع



شکل (۲۷) تغییرات انحراف زاویه ای آونگ و فرارگیری در موقعیت عمود

-
- [2] K. Tanaka, M. Sugeno, "Stability analysis and Design of Fuzzy Control Systems", *Fuzzy sets and systems*, vol. 45, pp. 135-156, 1992.
- [3] G. Ren, Z. Hung-Xiu, "Analytical Design of Takagi-Sugeno Fuzzy Control Systems", *American Control Conference*, pp. 1733-1738, 2005.
- [4] M. Akar, Ü. Özgüner, "Decentralized Parallel Distributed Compensator Design for Takagi-Sugeno Fuzzy Systems", *Proceeding of 38th Conference on Decision & Control*, pp. 4834-4839, 1999.
- [5] A. Jadbabaie, M. Jamshidi, A. Titlie, "Guaranteed-Cost Design of Continuous-Time Takagi-Sugeno Fuzzy Controllers via Linear Matrix Inequalities", *IEEE*, pp. 268-273, 1998.
- [6] K. Tanaka, T. Hori, H. Wang, "New Robust and Optimal Designs for Takagi-Sugeno Fuzzy Control Systems", *International Conference on Control Application*, pp. 415-420, 1999.
- [7] M.Y. Shieh, C.W. Huang, T.H. Li, "A GA-based Sugeno-Type Logic Controller for Cart-Pole System", *IEEE*, pp. 1028-1032.
- [8] M.N. Howell, M.C. Best, "On-line PID tuning for engine idle-speed control using continuous action reinforcement learning automata", *Control Engineering Practice 8 147-154*, Elsevier Science Ltd., 2000.
- [9] M.N. Howell, T.J. Gordon, "Continuous action reinforcement learning automata and their application to adaptive digital filter design", *Engineering Applications of Artificial Intelligence 14 549–56*, Elsevier Science Ltd., 2001.